

Vežimėlio judesio valdymo modelis

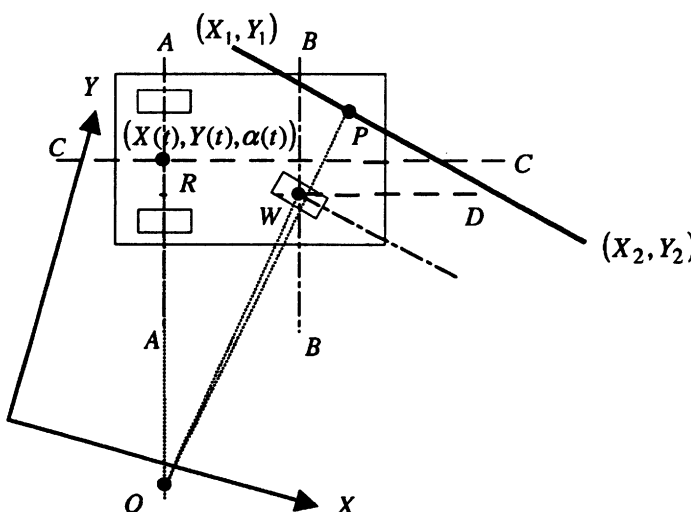
Narimantas LISTOPADSKIS (KTU)

e-mail: narlis@fmf.ktu.lt

Automatizuotų sandelių projektavime svarbią vietą užima transporto kelių trajektorijų bei transporto valdymo signalų sekų sudarymo uždaviniai. Tam sprendžiamas uždavinys: rasti vežimėlio, antena sekančio laidą grindyse, judesio trajektoriją bei šiai trajektorijai realizuoti reikalingą valdymo signalų seką, kai duota laido grindyse trajektorija. 1 pav. pavaizduotas vežimėlis su vienu priekiniu valdomu ratu W . Priekinis valdomas ratas gali nebūti ant centrinės vežimėlio ašies CC . Taške P yra pritvirtinta antena, kuria vežimėlio valdymo aparatūra sekta laidą grindyse.

Pažymėkime (a, b) – taško P koordinates lokalioje koordinačių sistemoje, kurios pradžios taškas R ir pirmoji ašis sutampa su vežimėlio centrine ašimi CC ($a > 0$), (c, d) – priekinio valdomo rato W koordinates lokalioje koordinačių sistemoje, $\beta(t)$ – priekinio valdomo rato W posūkio kampą vežimėlio centrinės ašies ažvigliu (t – reiškia laiką), $(X(t), Y(t))$ – vežimėlio taško R koordinates globalioje koordinačių sistemoje, $\alpha(t)$ – kampas, kuri sudaro vežimėlio centrinę ašį CC su globaliaja ašimi X .

Vežimėlio jedesys yra vežimėlio nuolatinio sukimas apie momentinį centrą $O(t)$, kai visų vežimėlio taškų sukimosi momentiniai kampiniai greičiai vienodi [1] (2 pav.). Momentinis sukimosi centras $O(t)$ yra apibrėžiamas dviejų tiesių $OP(t)$ (statmens laido



1 pav. Vežimėlio momentinio sukimosi schema.

trajektorijos linijai) ir $OR(t)$ (vežimėlio užpakalinės ašies tėsinio) susikirtimu. Statmuo valdomam ratui $OW(t)$ taip pat turi eiti per tašką $O(t)$.

Momentiniai taškų P, R, W posūkio apie centrą $O(t)$ spinduliai yra atitinkamai $|OP(t)|, |OR(t)|, |OW(t)|$.

Vežimėlio sukimosi kryptis yra apibrėžiama vektorine sandauga

$$\overrightarrow{OW}(t) \times \overrightarrow{OP}(t) = (0, 0, \mu(t)),$$

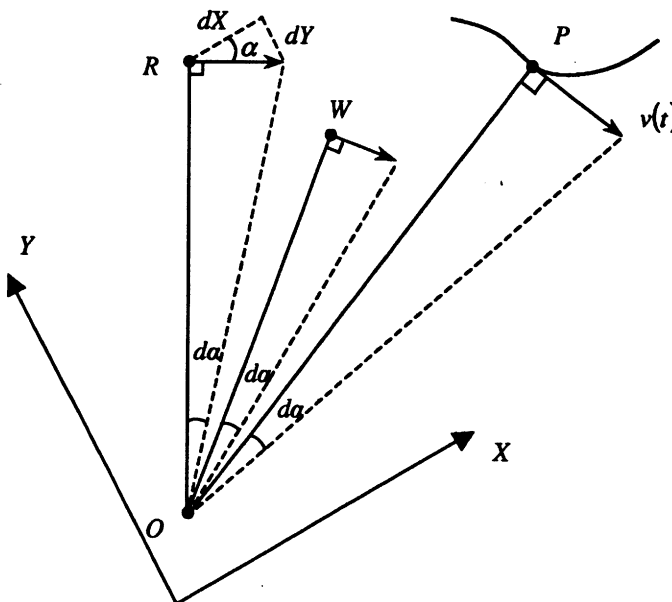
$$m(t) = -\frac{\mu(t)}{|\mu(t)|}.$$

$m(t) = 1$, jei vežimėlis sukas prieš laikrodžio rodyklę, ir $m(t) = -1$, jei vežimėlis sukas pagal laikrodžio rodyklę.

Vežimėlio judesį aprašanti diferencialinių lygčių sistema, gaunama iš trijų trikampių panašumo (2 pav.), yra tokia:

$$\begin{cases} \frac{dX}{dt} = \frac{|OR(t)|}{|OP(t)|} \cdot \cos \alpha(t) \cdot v(t), \\ \frac{dY}{dt} = \frac{|OR(t)|}{|OP(t)|} \cdot \sin \alpha(t) \cdot v(t), \\ \frac{d\alpha}{dt} = \frac{m(t)}{|OP(t)|} \cdot v(t), \end{cases}$$

čia $v(t)$ – taško P linijinis judesio greitis.



2 pav. Visų vežimėlio taškų sukimosi momentiniai kampiniai greičiai vienodi.

Jei laido trajektorija aprašyta lygtimi $y = f(x)$, tai detalizuota diferencialinių lygčių sistema igyja tokį pavidalą

$$\begin{cases} \frac{dX}{dt} = \frac{|(a - b \cdot k(t)) \cdot \sin \alpha(t) + (b + a \cdot k(t)) \cdot \cos \alpha(t)|}{a \cdot \sqrt{1 + k(t)^2}} \cdot \cos \alpha(t) \cdot v(t), \\ \frac{dY}{dt} = \frac{|(a - b \cdot k(t)) \cdot \sin \alpha(t) + (b + a \cdot k(t)) \cdot \cos \alpha(t)|}{a \cdot \sqrt{1 + k(t)^2}} \cdot \sin \alpha(t) \cdot v(t), \\ \frac{d\alpha}{dt} = \frac{(a - b k(t)) \sin \alpha(t) + (b + a k(t)) \cos \alpha(t)}{|(a - b k(t)) \sin \alpha(t) + (b + a k(t)) \cos \alpha(t)|} \cdot \frac{\cos \alpha(t) - k(t) \sin \alpha(t)}{a \cdot \sqrt{1 + k(t)^2}} \cdot v(t), \end{cases}$$

čia $k(t)$ – laido trajektorijos liestinės krypties koeficientas taške P laiko momentu t .

Pradinės diferencialinių lygčių sistemos sąlygos yra

$$(X(0), Y(0), \alpha(0)),$$

čia taško R koordinatės apibrėžiamos lygtimis

$$X(0) = X_1 - a \cdot \cos \alpha(0) + b \cdot \sin \alpha(0),$$

$$Y(0) = Y_1 - a \cdot \sin \alpha(0) - b \cdot \cos \alpha(0),$$

panaudojant trajektorijos pradžios taško koordinates (X_1, Y_1) .

Priekinio vairuojamo rato pasukimo kampus $\beta(t)$ apibrėžiamas lygybe

$$\beta(t) = m(t) \cdot \arccos \frac{\overrightarrow{OW}(t) \cdot \overrightarrow{OR}(t)}{|\overrightarrow{OW}(t)| \cdot |\overrightarrow{OR}(t)|},$$

čia

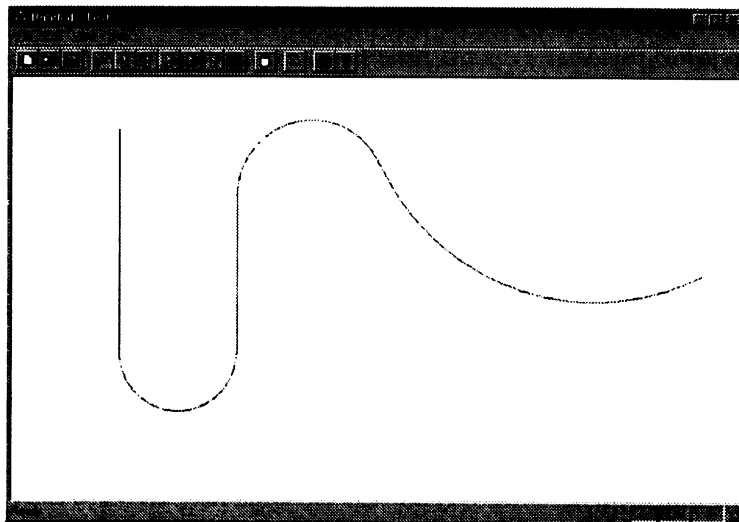
$$\overrightarrow{OW}(t) = \begin{pmatrix} (c-a) \cdot \cos \alpha(t) + (b-d) \cdot \sin \alpha(t) + \frac{a}{\cos \alpha(t) - k(t) \cdot \sin \alpha(t)} \\ (c-a) \cdot \sin \alpha(t) + (b-d) \cdot \cos \alpha(t) - \frac{a \cdot k(t)}{\cos \alpha(t) - k(t) \cdot \sin \alpha(t)} \end{pmatrix},$$

$$\overrightarrow{OR}(t) = \begin{pmatrix} -a \cdot \cos \alpha(t) + b \cdot \sin \alpha(t) + \frac{a}{\cos \alpha(t) - k(t) \cdot \sin \alpha(t)} \\ -a \cdot \sin \alpha(t) + b \cdot \cos \alpha(t) - \frac{a \cdot k(t)}{\cos \alpha(t) - k(t) \cdot \sin \alpha(t)} \end{pmatrix}.$$

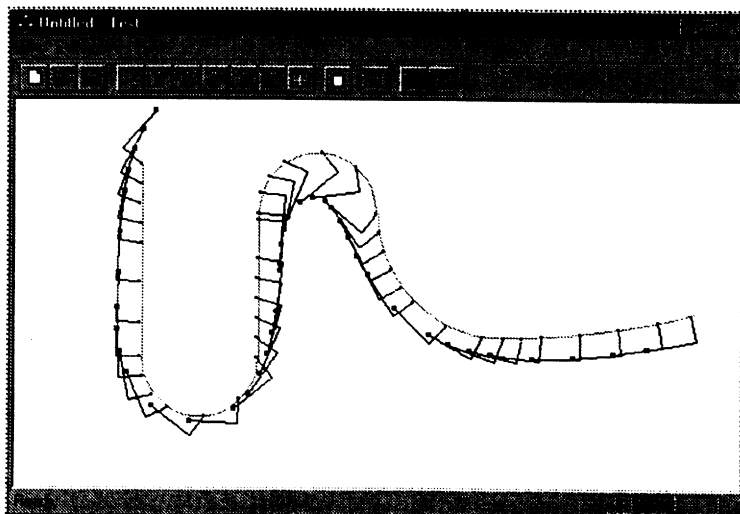
Kiekviename trajektorijos taške turi būti tenkinama sąlyga

$$\left((a - b \cdot k(t)) \cdot \sin \alpha(t) + (b + a \cdot k(t)) \cdot \cos \alpha(t) \right) \cdot (Y_2 - Y_1) \geq 0,$$

kuri neleidžia vežimėliui judėti atgal. Šios sąlygos pažeidimas nutraukia vežimėlio jūdesio modeliavimo procesą.



3 pav. Laido trajektorija kompiuterio ekrane prieš skaičiavimą.



4 pav. Modelio vaizdas kompiuterio ekrane po skaičiavimo.

Gautos diferencialinių lygčių sistemos sprendimui panaudotas ketvirtos eilės adaptivus Rungės ir Kutos metodas [2]. Sukurta modelio vizualizacijos programinė įranga. Duotos laidų trajektorijos fragmento ir apskaičiuotų vežimėlio padėcių (kai $v(t) = 1$) vaizdas kompiuterio ekrane pateiktas 3 pav ir 4 pav.

Literatūra

- [1] V. Paliūnas, *Teorinė mechanika*, Mokslas, Vilnius (1982).
- [2] B. Kvedaras, M. Sapagovas, *Skaičiavimo metodai*, Mintis, Vilnius (1974).

Modelling of vehicle motion control

N. Listopadskis

The problem is to calculate the path trajectory and sequence of control signals for a vehicle following a wire in the floor. Motion of the vehicle is determined by system of differential equations. Fourth-order Runge-Kutta adaptive method was used for solving of the obtained system of the differential equations.